

神戸大学工学部 正員 ○輕部大藏  
建設技術研究所 K.K. 正員 安井政彦

土質構造物の設計に用いる土のセン断強さは、通常一軸圧縮試験や現場セン断(あるいは貫入)試験から求められている。これら試験は、供試体や地盤に時間的に一定の速さで増加する変位を加え、それに応応する荷重を測定するかまたは増加荷重に対する変位の大きさを測定するものである。ところが、土質構造物の破壊は、地震やその他の異常な条件のもとで起るだけではなく、むしろ定常的な荷重条件のもとで起きることも多いことを考えると、クリープ破壊を重視する必要があるといわれている。

しかし、クリープ試験は多数の供試体を長時間試験しなければ結論が得られないのに、研究の方向は従来から、クリープ強さと一軸圧縮強さとの対応関係を調べておき、一軸強さがわかればクリープ強さが推定できるという経験式を導くものが多かった。

この報告は、乱さない粘土の一軸クリープ試験をおこなって、一軸圧縮強さとの比較など2,3の検討をおこない、さらに土質構造物の安全率をその破壊確率と一義的に結びつけるための簡単な考察をおこなったものである。

## I クリープ試験

I-1 試験方法。使用した試料は、大阪湾付近の地表面下9~19mから薄肉サンプラーで採取された乱さない粘土で、 $w = 59.1 \sim 63.0\%$

$w_c = 70.0 \sim 89.9\%$   $PI = 50 \sim 60$  である。サンプラーから押し抜いた後、高さ10cmあまりのブロックに分けてパラフィンでコートしてある。この試料を上下2つに分けて、それぞれ高さ4cm直径3.57cmの円柱に成形し、1つは一軸圧縮試験、他の1つはクリープ試験に供する。

試験装置は、図-1のようだ。クランプねじをはずせばクリープ試験ができる。クランプすれば一軸圧縮試験ができる。いずれの場合も供試体の上下端面にはシリコングリースを塗ったゴム膜がはさまれている。(その結果、高さ8cmの供試体と同じ強度を求めることができる。)

一軸圧縮試験は圧縮速度を1.25%/minとした。またクリープ試験は、クリープ荷重が $q_u$ の0.7~0.9倍の間の一定値として24時間作用させ、破壊しなかつた供試体については、ひきつづいて一軸圧縮試験をおこなった。したがってクリープ破壊の定義はひずみの速さが1.25%/minに達した時間とされていき。

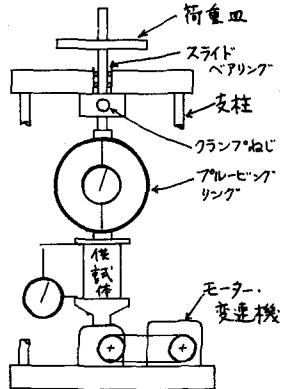


図-1

表-1

試料 No.	$\sigma_{q_u}$ (kg/cm <sup>2</sup> )	$q_u$ (kg/cm <sup>2</sup> )	$t_f$ (hr.)	$\frac{q_u}{q_u}$
1	0.9	0.566	1.1	
2	"	0.744	0.1	
3	0.8	0.577	1.25	
4	"	0.662	55~6	
5	"	0.726	3~35	
6	"	0.824	1~1.5	
7	0.78	0.561	45~5	
8	"	0.788	65~7	
9	"	0.846	65~7	
10	0.765	1.159	75~8	
11	"	1.204		0.950
12	"	0.721		0.920
13	0.75	0.697		0.865
14	0.74	1.064		0.878
15	0.7	0.920		0.893
16	"	1.010		0.899
17	"	1.064		1.000
18	"	1.285		0.988

I-2 試験結果、結果の一覧は表-1のようである。クリープ破壊をおこさなかつた供試体のクリープ後一軸強度  $\sigma_{uc}$  は全般的に  $\sigma_u$  より小さくなっている。図-2は24時間クリープひずみ  $\epsilon_c$  と  $\sigma_{uc}/\sigma_u$  の関係をあらわしており、図-3は同様にクリープ荷重比  $\sigma/\sigma_u$  と  $\sigma_{uc}/\sigma_u$  の比と  $\sigma_{uc}/\sigma_u$  の関係をあらわしている(図-3中の印は実測値の範囲、○印はその平均値、●印は実測値)。

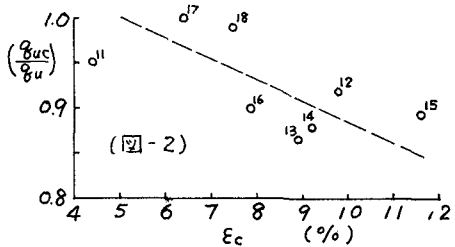
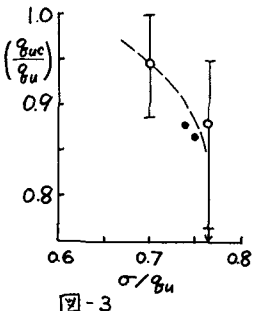


図-4はクリープ応力比  $\sigma/\sigma_u$  と破壊時間の関係をあらわしている。同一のクリープ応力比の供試体でも、破壊時間は大巾にはらついているが、これは実験技術だけの問題ではないであろう。いま、 $\sigma/\sigma_u$  ごとに、クリープ時間と、その時間までに破壊した個数の割合  $\Sigma P_3$  の関係を図示すると図-5が得られる。この図から、クリープ時間00で破壊割合が  $0 < \Sigma P_3 < 1$  となる  $\sigma/\sigma_u$  (これが実際上の問題とする) は、たとえ存在しても  $0.78 < \sigma/\sigma_u < 0.75$  のごく狭い範囲に限られることがわかる。



## II 安全率と破壊確率

同一の安全率  $F_s$  を持つ構造物でも、その破壊確率の推定値には大きな差があることはすでに明らかにされている。ここでは両者を1対1の関係に対応させることを試みる。簡単のために、図-6のような斜面の円弧すべりに対する安全率を考えると。

$$F_s = \text{抵抗モーメント} / \text{起動モーメント} = (R \times \int_A^B \sigma_u^* / 2 dL / M_0) \times f_c \cdot f_E \quad (1)$$

ここに  $M_0$  は起動モーメント、 $\sigma_u^*$  は実測  $\sigma_u$  値の深度および平面的分布から最小2乗法で求めた  $\sigma_u$  の推定値、 $f_c$  はクリープ強度  $\sigma_u$  と  $\sigma_u$  の比(図-5より  $f_c = \sigma_u / \sigma_u^* \approx 0.75$ )、 $f_E$  は弧AB上で  $\sigma_u$  を与えるひずみにはらつきがあるための補正係数である。

さて、 $\sigma_u^*$  が原地盤の真の値  $\sigma_u^*$  より  $\delta$  以上大きい確率  $P(\sigma_u \geq \sigma_u^* - \delta)$  の推定値は

$$P = \int_t^\infty \phi(t) dt \quad (2)$$

$$t = \sqrt{n} \cdot \delta / \sigma = \sqrt{n(n-1)} \delta / \sqrt{\sum (\sigma_u - \sigma_u^*)^2} \quad \}$$

ここに、 $n$  は測定値の数、 $\sigma_u$  はそれぞれの深度における一軸圧縮強度の実測値である。

一方、(1)式の  $\sigma_u^*$  が  $(\sigma_u^* - \delta)$  まで低下したとき( $F_s = 1$  となるたどり)と、 $\delta = 2(F_s - 1)M_0 / (R \cdot l \cdot f_c \cdot f_E)$  ..... (3)

式(3)を式(2)に代入すれば、起動モーメントと抵抗モーメントとする確率の推定値を与えることになる。この  $P$  は、土試料のサンプリングによる乱れを無視すれば、斜面の安定の評価に直接用いることができますが、今お安全率  $F_s$  という言葉を用いたい場合は、たとえば  $P = 1 / (F_s' + 1)$  となるような新しい安全率  $F_s'$  を定義すれば合理的であると思われる。

